

## Раздел 2

# Машиностроение. Металлургия

ӘОЖ 621.01.539.3

БӘКІРОВ Ж.Б.,  
ТӘНІРБЕРГЕНОВА А.Ә.

## Бөлшектердің ұзак үақыт жұмыс жасауының ықтималдық есебі

Аудиспалы көрнекілерде жұмыс жасайтын машина бөлшектерін жобалау қажетті қорын алдын ала болжайды. Бұл қорды ұзак үақыт жұмыс жасауға әсер ететін мақсатпен бағытталған параметрлердің өзгеру жолымен басқаруға әкеледі. Қордың жоғарылауы материалды және сибек шығынын үнемдеуге әкеледі.

Қирауға дейінгі циклдар санының статистикалық таралуын  $N$  тұркты  $S$  амплитудадағы үлгілерді сынаудың қажыуынан анықтайты. Көптеген сынаулардан көрсетініміз, оның логарифмдік нормалды заңға бағынтындығы [1].

$$f(N) = \left(\sqrt{2\pi} N \sigma_z\right)^{-1} \exp\left[-(\ln N - m_z)^2 / 2\sigma_z^2\right], \quad (1)$$

Мұнда  $z = \ln N$ ;  $\sigma_z$ ,  $m_z$  – тұркты және математикалық үміт, олар зерттеу бойынша анықталады.

Мұнда  $N$  санының ықтималдық сипаттамалары:

$$m_N = \exp(m_z + \sigma_z^2 / 2), \quad k_N = \sigma_N / m_N = (\exp \sigma_z^2 - 1)^{1/2}. \quad (2)$$

Егер сынау жолымен  $m_N$ ,  $k_N$  анықталса, онда таралу параметрлері белгілі болады:

$$\sigma_z^2 = \ln(k_N^2 + 1), \quad m_z = \ln m_N - \sigma_z^2 / 2. \quad (3)$$

$N_p$  циклдар санындағы қирау ықтималдығы мынаған тән:

$$P = F(N) = \int_0^{N_p} f(N) dN = \Phi\left(\frac{\ln N - m_z}{\sigma_z}\right),$$

мұнда  $\Phi$  – нормальді таралудың табулирланған функциясы. Бұдан  $H_*$  сенімділігін белгілеп, бөлшектің ұзак үақыт жұмыс жасауын анықтауға болады.

$$N_p = \exp(\gamma_p \sigma_z + m_z),$$

мұнда  $\gamma_p - P = 1 - H_*$  ықтималдығына сәйкес келетін нормаль таралуының квантиді.

Накты бөлшектер үшін (1)-дің таралу параметрлерін зерттеу түрінде анықтау, өтеп үлкен жұмыс болып табылады. Сонымен қоса накты шарттарда көрнек амплитудасы кездейсек сипаттамаға ие. Сондықтан кездейсек факторларды ескеріп бөлшектердің ұзак үақыт жұмыс жасауын анықтау үшін әдістерді дайындау өтеп қажетті.

[2] жұмысында  $f(s)$  көрнек амплитудаларының әртүрлі таралу заңдарындағы бөлшектер қорларын анықтау үшін өрнек алынды, ол мына түрде келтірілді.

$$a = (u - b / 2) / (x_m - b / 2), \quad N = a N_0 R_g^m / I, \quad (4)$$

мұнда  $b = R_g / \sigma_s$ ;  $X_m = S_m / \sigma_s$ ;  $I = \int_{R_g / 2}^0 S^m f(s) ds$ ;

$$U = \int_{R_g / 2}^{\infty} S f(s) ds / \sigma_s \int_{R_g / 2}^{\infty} f(s) ds.$$

мұнда  $R_g$  – бөлшектің төзімділік шегі;  
 $S_m$  – кернеудін ең үлкен шамасы, ал қажу  
 қисығы тәндесумен бейнеленген

$$N = N_0(R/S)^m \text{ кезінде } S \geq R_g; N = \infty \text{ кезінде } S < R_g \quad (5)$$

(5) өрнегін  $N = a/\bar{v}$  түрінде көрсетеді, мұнда  $a$  –  
 бір циклдағы бұзылуынан шамасы.

$$\bar{v} = \int_0^{\infty} [f_{(s)} / N_{(s)}] ds$$

Екінші момент және бірлік бұзылуарының дисперсиялары мына формулалар бойынша анықталады

$$\langle v^2 \rangle = \int_0^{\infty} [f_{(s)} / N_{(s)}^2] ds, \sigma_v^2 = \langle v^2 \rangle - \bar{v}^2. \quad (6)$$

Кирава дейінгі циклдар саны регуляр жүктелу жағдайындағы бөлшектің ұзак уақыт жұмыс жасаудың анықтайты. Жүктелудің курделі циклдарында ұзак уақыт жұмыс жасаудың орташа шамасы  $\bar{T}$  жүктелу арасындағы орташа уақыт  $\bar{t}$  арқылы анықталады

$$\bar{T} = \bar{t}N = \bar{t}a/\bar{v} = a\bar{t}N_0R_g^m/I. \quad (7)$$

Ұзак ұақыт жұмыс жасау дисперсиясы [3] формулаласы бойынша анықталады

$$\sigma_t^2 = \bar{T}\bar{t} \left[ \sigma_v^2/\bar{v}^2 + \sigma_i^2/\bar{T}^2 \right], \quad (8)$$

мұнда  $\sigma_i^2$  – жүктеулер арасындағы уақыт дисперсиясы.

Ұзак уақыт жұмыс жасаудың таралуы логарифмді нормальді заңына бағынады және (1) өрнегімен  $N_P$ -ны  $T$ -ға ауыстыру арқылы анықталады.

Ұзак уақыт жұмыс жасау көрсеткіштерінің анықталуын амплитуданың релеевский таралуы мысалында көрсетеміз. Бұл жағдайда [2] жұмысында алынды

$$\bar{T} = \frac{2^{-m/2}T_0b^m}{\Gamma(1+m/2)Q(b^2, m+2)}, \quad (9)$$

мұнда  $T_0 = aN_0\bar{t}$ .

(7) бойынша бірліктік бұзылу дисперсиясы тең

$$\sigma_t^2 = 2^m \Gamma(m+1)Q(b^2, 2m+2) / N_0^2 b^{2m} - \left(T_0 / N_0\bar{T}\right)^2.$$

Ұзак уақыт жұмыс жасау дисперсияларын (9) формулаласы бойынша табамыз. Бұнда жүктемелер арасындағы уақыт таралуын релеевскилік деп санаймыз:

$$\sigma_i^2/\bar{T}^2 = \langle t^2 \rangle/\bar{T}^2 - 1 = 4/\pi - 1.$$

Енді

$$\sigma_m^2 = \bar{T}\bar{t} \left[ \frac{\Gamma(m+1)Q(b^2, 2m+2)}{\Gamma^2(1+m/2)Q(b^2, m+2)} + \frac{4}{\pi} - 2 \right]. \quad (10)$$

[3]-те алынған тәуелділіктердің зерттеу тексеруле-  
 рі мыналарды көрсетеді, ұзак уақыт жұмыс жасаудың  
 орташа мәндері тәжірибелік берілгендермен жақсы  
 сойкес келеді, ал ұзак уақыт жұмыс жасаудың нақты  
 шашыраулары (10) формулаласы көрсеткендегіге кара-  
 ганда едөүір көп болады. Бұның негізгі себебі, біз  
 есептесулерде кернеу амплитудаларының кездейсок си-  
 паттамаларын ғана ескердік, ал материалдарынан меха-  
 никалық қасиеттері детерминирленген деп санадық.  
 Алайда, белгілі себептер бойынша төзімділік шегі

кездейсок шама және оның шашырауы ұзак уақыт жұмыс жасау шашырауына маңызды ықпал жасайды.

Ұзак уақыт жұмыс жасаудың ықтималдық сипаттамаларын  $f(R)$  төзімділік шегінің белгілі таралу зан-  
 дарында анықтаймыз. Қойылған есептерді шешудің бірнеше жолдары бар. Бірінші жолы тольғы ықтимал-  
 дық формулаласы бойынша ұзак уақыт жұмыс жасаудың сөзсіз таралуының анықталуымен бекітіледі

$$P(m) = \int_0^{\infty} f(m/R)f(R)dR, \quad (11)$$

мұнда ұзак уақыт жұмыс жасаудың шартты таралуы (6)-ны ескерумен (1) өрнегі бойынша анықталады. Бір-  
 акта бұл жолдардың тольғы үлестірулері аса кын болады, яғни (12) интегралын әрбір  $T$  үшін сандық түрде  
 алу керек, ал содан кейін  $P(T)$  таралуын түрғызамыз. Бұнда келесі ықшамдаулар болуы мүмкін. Зерттеу  
 берілгендерін есептеу нәтижелерімен (9) формула бойынша салыстыру шартты ұзак уақыт жұмыс жасау  
 шашырауы көп жағдайларда төзімділік шегінің ауысувымен шакырылған ұзак уақыт жұмыс жасау шашы-  
 рауымен салыстырғанда аз болады. Бұндай жағдайда ұзак уақыт жұмыс жасау таралуының шартын дельта –  
 функциямен жуықтауға болады

$$f(T/R) \approx \delta[T - \bar{T}(R)],$$

мұнда  $\bar{T}(R)$  – ұзак уақыт жұмыс жасау көрсеткіштерінің кез келген сипаттамалық (кездейсок емес) мәні, ол  
 ұзак уақыт жұмыс жасау сипаттамалары деп аталады.

Ұзак уақыт жұмыс жасау таралуы (11) формула-  
 сына сәйкес мынаған тең болады

$$P(m) = -\frac{d}{dm} \left[ \int_{m-\bar{m}(R)}^{\infty} f(R)dR \right] = \frac{d}{dm} F[R_*(m)], \quad (12)$$

мұнда  $F(R)$  – төзімділік шегінің таралу функциясы;  
 $R_*(t)$  – тендеудің түбірі

$$\bar{T}(R) = t. \quad (13)$$

(12) формулаласын пайдаланған кезде  $R_*(t)$  функциясын (13) тендеуінен анықтаудан қындықтар туындаиды. Сонымен, егер сипаттамалық ұзак уақыт жұмыс жасау (10) тендеуімен анықталса, онда  $R_*(t)$  функциясының аналитикалық түрде анықтау  $Q(b^2)$ ,  $m+2$  трансцендентті функцияларының барлығынан алу мүмкін емес. Бұл жағдайларда кейде жуық шешімдерді қабылдауға болады, олар  $Q(b^2, m+2)$  функцияларының шашырауларын ескермейді. Онда

$$R_*(t) = \sqrt{2}\sigma_S \left[ Q(b_0^2, m+2)\Gamma(1+m/2)t/T_0 \right]^{1/m}, \quad (14)$$

мұнда  $b_0 = m_R/\sigma_S$ ;  $m_R$  – төзімділік шегінің математикалық үміті.

Егерде төзімділік шегі еki параметрлі Вейбулл та-  
 railуына ие болса:

$$F(R) = 1 - \exp(-R^\beta/a).$$

Онда ұзак уақыт жұмыс жасау таралуын (13) фор-  
 мула бойынша табуға болады

$$P(T) = \alpha LT^{\alpha-1} \exp(-LT^\alpha), \quad (15)$$

мұнда  $\alpha = \beta/m$ ,  $L = (\sqrt{2}\sigma_S)^\beta \left[ Q(b_0^2, m+2)\Gamma(1+m/2)t/T_0 \right]^{1/m}/a$ .

Жалпы жағдайда төзімділік шегінің шашырауын ескеру үшін статистикалық ұлғілеу әдісін қолданады.

(10) өрнегінен  $R$ -ден тәуелді мүшелерді жазамыз:

$$u = x^m / Q(x^2, m+2),$$

мұнда  $x = b = R / \sigma_s$  – кездейсоқ шама.

Онда  $T = L_0 u$ , мұнда  $L_0 = T_0 / 2^{m/2} I'(1+m/2)$ .

Төзімділік шегін анықтау үшін нормальды таралуға ие болсын. Жүктемелер мен материалдардың тұракты параметрлерін ( $\sigma_s, m_s, \sigma_r, m_r$ ) белгілейміз және нормальды таралуға ие  $x$  шамасын генерациялаймыз, оның параметрлері:

$$b_0 = m_r / \sigma_s, \sigma_0 = \sigma_r / \sigma_s.$$

Үлестірудің көп сандарының берілу жолдарымен и мәнін табамыз және статистикалық өндөдеуден кейін оның таралу занын анықтаймыз. [3] ұзак уақыт жұмыс жасау шашырауының зерттеу берілгендері және жүргізілген есептер  $u$  шамасы үшін логарифмді нормальді таралу занын кабылдау үшін негізделеді

$$P(u) = (\sqrt{2\pi}ud)^{-1} \exp[-(\ln u - c)^2 / 2d^2],$$

мұнда  $c$  және  $d$  таралу параметрлері  $u$  шамасы моменттері арқылы табылады

$$C = 2 \ln \bar{u} - 0,5 \ln \langle u^2 \rangle, d^2 = \ln \langle u^2 \rangle - 2 \ln \bar{u}.$$

$u$  шамасының моменттері арқылы және ұзак уақыт жұмыс жасау моменттерін табамыз:

$$\bar{T} = L_0 \bar{u}, \sigma_T^2 = L_0^2 (\langle u^2 \rangle - \bar{u}^2), k_T = \left[ \langle u^2 \rangle / \bar{u}^2 - 1 \right]^{1/2}$$

$P(T)$  ықтималдық тығыздығын түрлендіру бойынша ұзак уақыт жұмыс жасау таралуын табамыз

$$P(T) = (\sqrt{2\pi}Td)^{-1} \exp[-(\ln T - A)^2 / 2d^2], \quad (16)$$

мұнда  $A = C + \ln L_0$ .

Гамма – проценттік қорының анықталуы (4) формула бойынша жүргізіледі

$$T = L_0 \exp(C + d\gamma_p).$$

Есептің аналитикалық шешімін  $Q(b_0^2, m+2)$  функциясының шашырауын ескермей алуға болады. Онда ұзак уақыт жұмыс жасаудың ықтималдық сипаттамаларын мына формулалар бойынша анықтауға болады:

$$\bar{T} = L_0 \bar{y} / Q(b_0^2, m+2), k_T = b_0^m m k_R / \bar{y}, \quad (17)$$

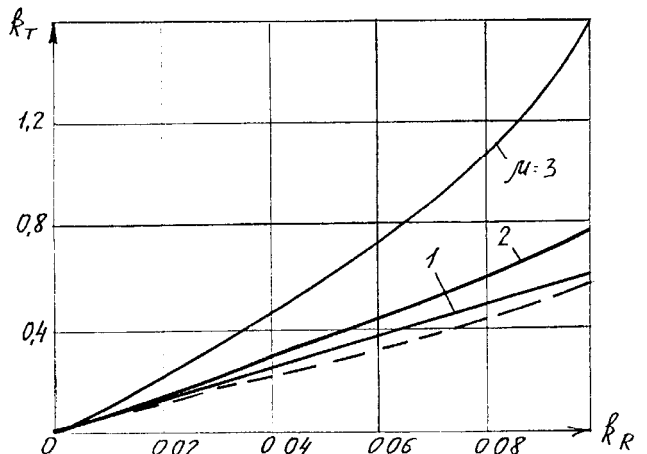
мұнда  $\bar{y} = b_0^m [1 + m(m-1)k_R^2 / 2]$ .

Суретте ұзак уақыт жұмыс жасауының вариация коэффициентінің  $m = 6$  үшін әртүрлі  $b_0$ -дің төзімділік шегінің вариация коэффициентіне тәуелділік графигі көрсетілген. Сонымен қоса мұнда пунктирлі сызықтармен осы тәуелділік  $Q(b_0^2, m+2)$  функциясының шашырау есебінсіз келтірілген. Бұл жағдайда  $k_T$   $b_0$ -ға тәуелді емес. Бұндай сипаттамаларға басқа да  $m$  кезіндегі кисыктар ие, бірақ вариация коэффициенті  $k_T$   $m$  жоғарылаған сайын ұлғайды.

Егер бөлшекте кездейсоқ функциялар болып табылатын нормаль  $S_\sigma$  және жанама  $S_\tau$  кернеулі амплитудаларымен жазық кернеуленген күй пайда болса, онда ұзак уақыт жұмыс жасау есебі қираудың бір критериін

қолданумен жүргізіледі. Көбінесе эквивалентті керне арқылы өрнектелген эллиптикалық тәуелділік қолданылады.

$$(S_{\sigma e} / R_{g\sigma})^2 + (S_{\tau e} / R_{g\tau})^2 = 1.$$



Ұзак уақыт жұмыс жасау мен төзімділік шегінің вариация коэффициенттерінің арасындағы  $m = 6$

болған кездегі тәуелділік:

1. –  $b_0=1$ ; 2. –  $b_0=2$ ; 3. –  $b_0=3$ .

Эквивалент кернеуді  $\bar{v}$ -ның эквивалент кернеудің бірлік бұзылуына теңдік шартынан табамыз.

$$\bar{v}_{le} = 1/N(s) = S_e^m / N_0 R_g^m.$$

$$\text{Будан табамыз } S_{\sigma e} = I_\sigma^{1/m_\sigma}, S_{\tau e} = I_\tau^{1/m_\tau},$$

мұнда  $m_\sigma, m_\tau$  – нормаль және жанама кернеулердің сынау кезіндегі қажу кисығының көрсеткіштері.

Егер бөлшекте тек нормаль кернеулер есептесе, онда оның ұзак уақыт жұмыс жасаудың (5)-ші формула бойынша анықтауға болады және оның сәйкес төзімділік шегі

$$R_{g\sigma} = (N_\sigma I_\sigma / a_\sigma N_{0\sigma})^{1/m_\sigma}.$$

Жалпы жағдайдағы жүктелу кезіндегі қирауға дейінгі циклдар санын ескере отырып

$$N = a_\sigma N_{0\sigma} = a_\tau N_{0\tau}$$

$$\text{Табамыз. } S_{\sigma e} / R_{g\sigma} = N / N_\sigma$$

Онда кирау критеріи мына түрге ие

$$(N / N_\sigma)^{2/m_\sigma} + (N / N_\tau)^{2/m_\tau} = 1. \quad (18)$$

Көптеген материалдар үшін  $m_\sigma = m_\tau = m$ . Онда (18)-ден ие боламыз

$$N = \frac{N_\sigma N_\tau}{(N_\sigma^{2m} + N_\tau^{2m})m/2}. \quad (19)$$

Ұзак уақыт жұмыс жасау таралуының тығыздығы (1) өрнегі бойынша анықталады. Таралу параметрлерін табу үшін белгілеулер енгіземіз.

$$z = \ln N, z_1 = \ln N_\sigma, z_2 = \ln N_\tau$$

Және (19) өрнегін логарифм дейіміз

$$z = z_1 + z_2 - 0,5m \ln(e^{2z_1/m} + e^{2z_2/m}).$$

Арықаралық математикалық үмітті анықтаймыз

$$m_z = m_{z1} + m_{z2} - 0,5m \ln \left[ \exp(2m_{z1}/m) + \exp(2m_{z2}/m) \right]. \quad (20)$$

Дисперсия  $z$ -ті жуық формула бойынша анықтайды:

$$D_z = d_1^2 \sigma_{z1}^2 + d_2^2 \sigma_{z2}^2.$$

$$\text{Мұнда } d_1 = \left( \frac{\partial z}{\partial z_1} \right)_m = 1 - \frac{1}{1 + (\bar{N}_\tau / \bar{N}_\sigma)^{2/m}};$$

$$d_2 = \left( \frac{\partial z}{\partial z_2} \right)_m = 1 - \frac{1}{1 + (\bar{N}_\sigma / \bar{N}_\tau)^{2/m}}.$$

Бұл формулалардағы  $m_{z1}$ ,  $m_{z2}$ ,  $\sigma_{z1}^2$ ,  $\sigma_{z2}^2$  зерттеу бойынша анықталады. Сонымен бірге  $\bar{N}_\sigma$ ,  $\bar{N}_\tau$  (2) формуласы бойынша анықталады. Егер зерттеу бойынша  $\bar{N}_\sigma$ ,  $\bar{N}_\tau$ ,  $\sigma_{N\sigma}$ ,  $\sigma_{N\tau}$  ықтималдық сипаттамалар анықталса, онда нормаль және жанама кернеулердің таралу параметрлері (3)-ші формула бойынша анықталады.

Таралу параметрлерін анықтағаннан кейін бөлшектің гамма процентті қоры (4)-ші формула бойынша анықталады.

## ӘДЕБИЕТТЕР ТІЗІМІ

- Серенсен С.В., Когаев В.П., Шнейдерович Р.В. Несущая способность и расчеты деталей машин на прочность. М.: Машиностроение, 1975. 488 с.
- Бакиров Ж.Б., Танирбергенова А.А. Расчет надежности деталей машин по усталостному разрушению // Труды международной научной конференции «Вторые Сагиновские чтения». Караганда, 2010.
- Гусев А.С. Сопротивление усталости и живучести конструкций при случайных нагрузках. М.: Машиностроение, 1989. 248 с.

**УДК 622.232-8**

**ИСАГУЛОВ А.З.,  
ШАРАЯ О.А.,  
МЕЩАНОВА С.О.,  
ИППОЛИТОВ С.В.,  
РЯБИНИН С.В.**

## Разработка методов поверхностного упрочнения металлических изделий

**В** ближайшем будущем наиболее распространенные-ми среди металлических конструкционных материалов останутся сплавы на основе железа и, прежде всего, стали. В этой связи в области современного металловедения одной из самых важных и актуальных задач является разработка доступных, экономичных, высокоэффективных и экологически безопасных технологий упрочнения конструкционных сталей, обеспечивающих получение заданных эксплуатационных свойств [1].

Для модифицирования поверхности металлов предпочтение отдается методам управляющей обработки, использующих в качестве теплового источника концентрированные потоки энергии: ионные, лазерные, ультразвуковые, высокочастотные индукционные и другие. Высокие плотности мощности лазерного излучения, существенно превосходят другие источники энергии, позволяют не только значительно увеличить производительность обработки, но и получать качественно новые свойства поверхностей, недоступные традиционным методам обработки материалов.

В работе были проведены исследования процессов лазерного легирования. На поверхность образцов стали марки 45 предварительно наносили обмазки системы «W-V-Cr», в качестве связующего использовалось жидкое стекло. Обработку образцов осуществляли при оплавлении их поверхности непрерывным излучением мощного CO<sub>2</sub>-лазера «ХЕБР-2500».

Режимы обработки образцов выбирались так, чтобы не было сильного проплавления поверхности. На первой группе образцов была проведена лазерная обработка с параметрами, представленными в таблице 1. Таблица 1 – Параметры лазерной обработки для пер-

вой группы образцов

Мощность лазерного излучения Р (Вт)	500
Скорость обработки материала v (об/мин)	520
Высота лазерной головки I (мм)	1   5   10   12   15

Проплавление было хорошим, но существовала одна конструктивная особенность лазера «ХЕБР-2500» – объектив, который стоит в головке, охлаждается продуванием через него воздуха, чтобы температурой не разрушило линзы объектива. Этот воздушный поток раздувает расплавленный слой металла, отчего на поверхности образцов образуются канавки глубиной 1,5 мм. Увеличение высоты головки над образцом одновременно с увеличением мощности излучения приводило к увеличению размеров обрабатываемой зоны, что не всегда желательно, поэтому в дальнейших экспериментах была увеличена скорость обработки. Параметры обработки второй группы образцов представлены в таблице 2. Во второй группе на первых трех образцах наблюдалось также образование канавок, но при высоте головки более 10 мм разлета расплава не наблюдалось. Максимальная глубина канавок 0,7 мм.

На практике для получения поверхности без оплавления часто используют поглощающие покрытия. Длина волны излучения лазера «ХЕБР-2500» – 10,6 мкм – почти полностью поглощает оксид алюминия Al<sub>2</sub>O<sub>3</sub>. На третью группу образцов было нанесено поглощающее покрытие на основе оксида алюминия, смешанного с лаком 4С. Параметры обработки третьей группы образцов представлены в таблице 2. Таблица 2 – Параметры лазерной обработки для второй группы образцов